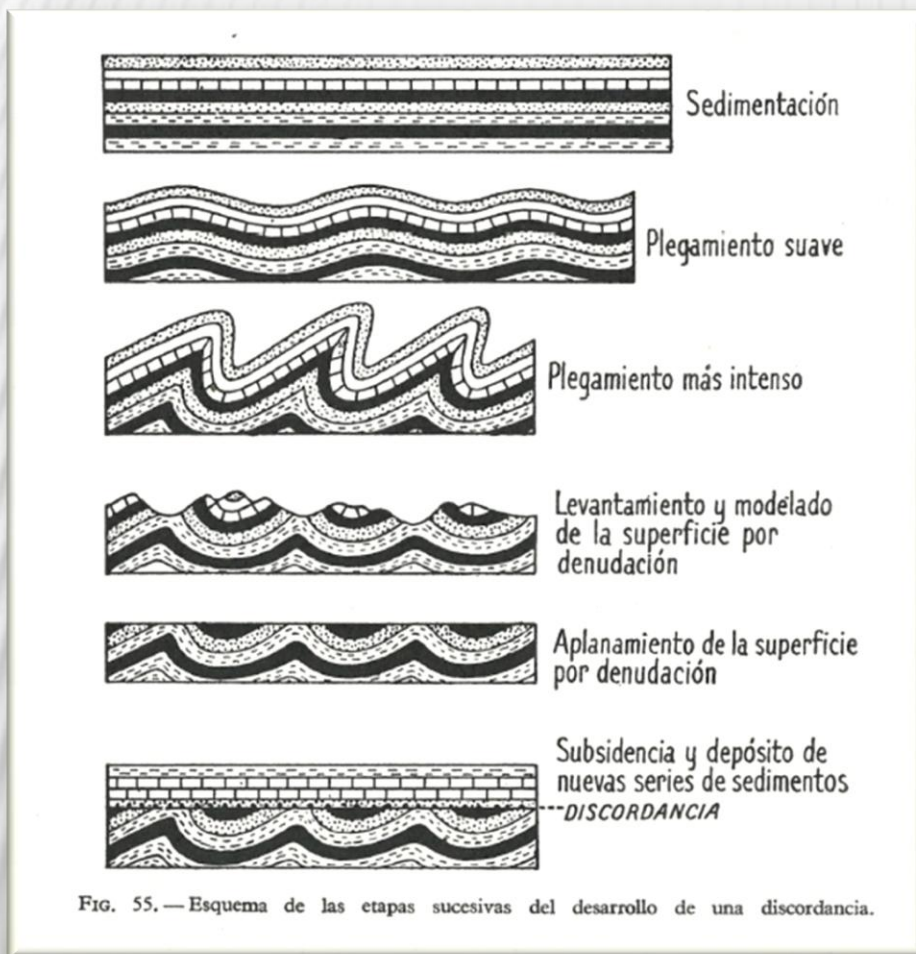


Diap. 1020.- Etapas de discordancia

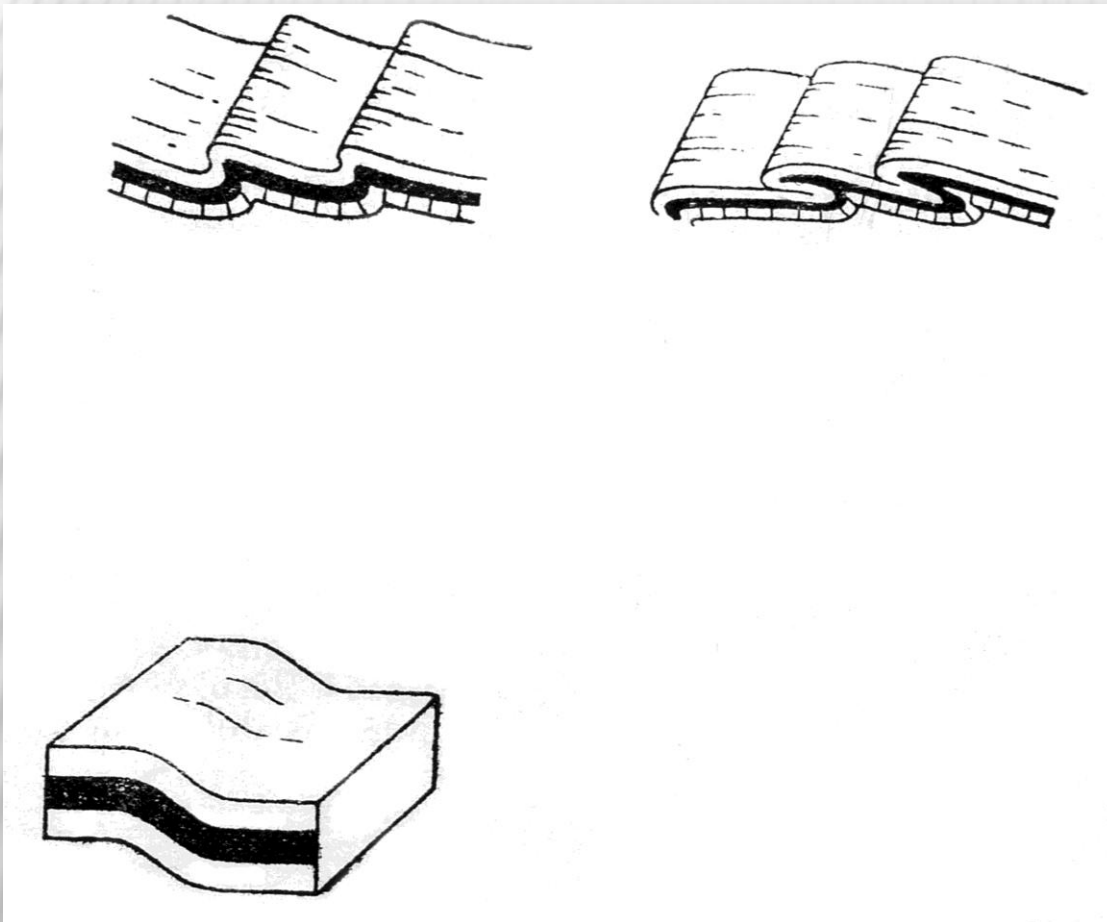


Esquema de las etapas sucesivas del desarrollo de una discordancia.

HOLMES, A. (1962) : *Geología Física*, Barcelona, Ediciones Omega. 4ª edición. Figura 55, página 93.



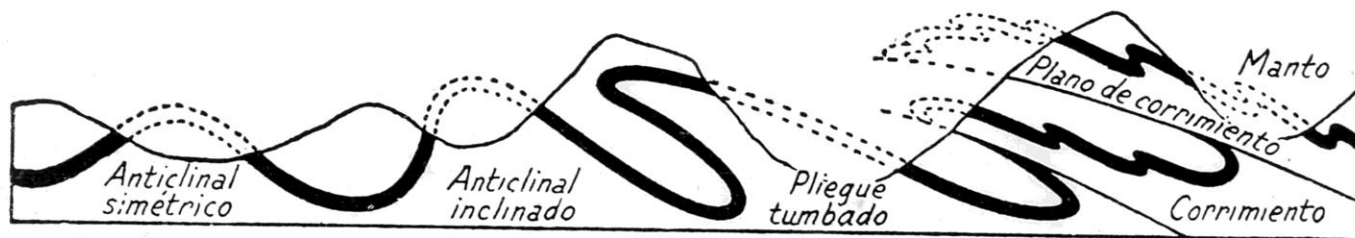
Diap. 891.- Tipos de pliegues



Tipos de pliegues: pliegues inclinados, pliegues acostados y flexión o pliegue monoclinal.

SOLÉ SABARÍS, L. (1938):  
*Introducción a la Geología*.  
Barcelona: Editorial Apolo.

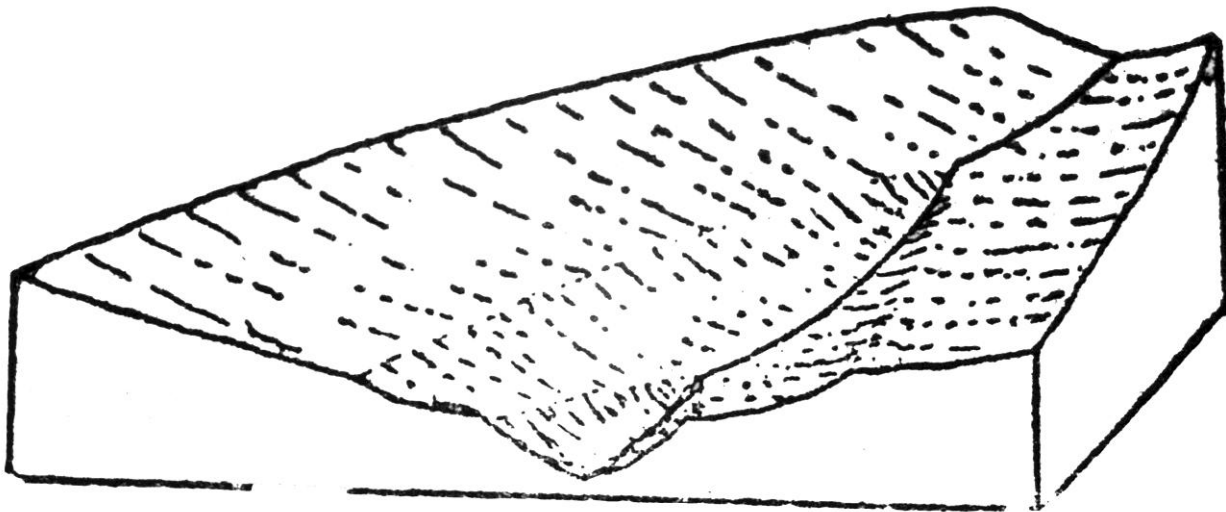
Diap. 1.021.- Tipos plegamiento y corrimiento



Corte esquemático donde se ven varios tipos de plegamiento y corrimiento .

HOLMES, A. (1962):  
***Geología Física***,  
Barcelona, Ediciones  
Omega. 4ª edición.  
figura 31, página 69.

Diap. 893.- Relieve policíclico

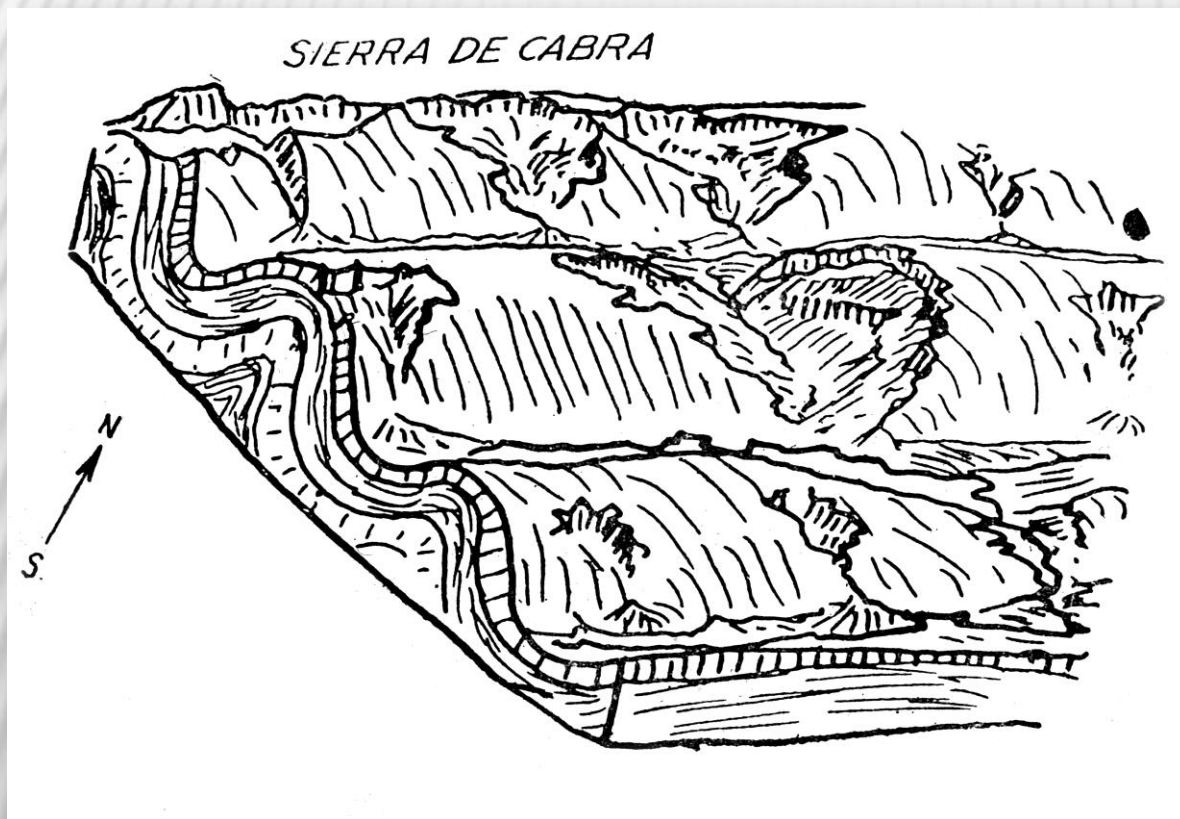


Relieve policíclico.

SOLÉ SABARÍS, L. (1938):  
*Introducción a la Geología.*  
Barcelona: Editorial Apolo.



Diap. 887.- Relieve jurásico



Relieve de tipo jurásico, propio de la Cordillera Subbética, en la región de la Sierra de Cabra, según Carandell.

SOLÉ SABARÍS, L. (1952): Geomorfología Península Ibérica, en: Geografía Física, tomo I de: Solé Sabarís, L. Terán, M. de (dirs): "Geografía de España y Portugal". Barcelona, Ed. Montaner y Simó. Fig. 181, página 442.

Diap. 881.- Diagrama bloque galaico

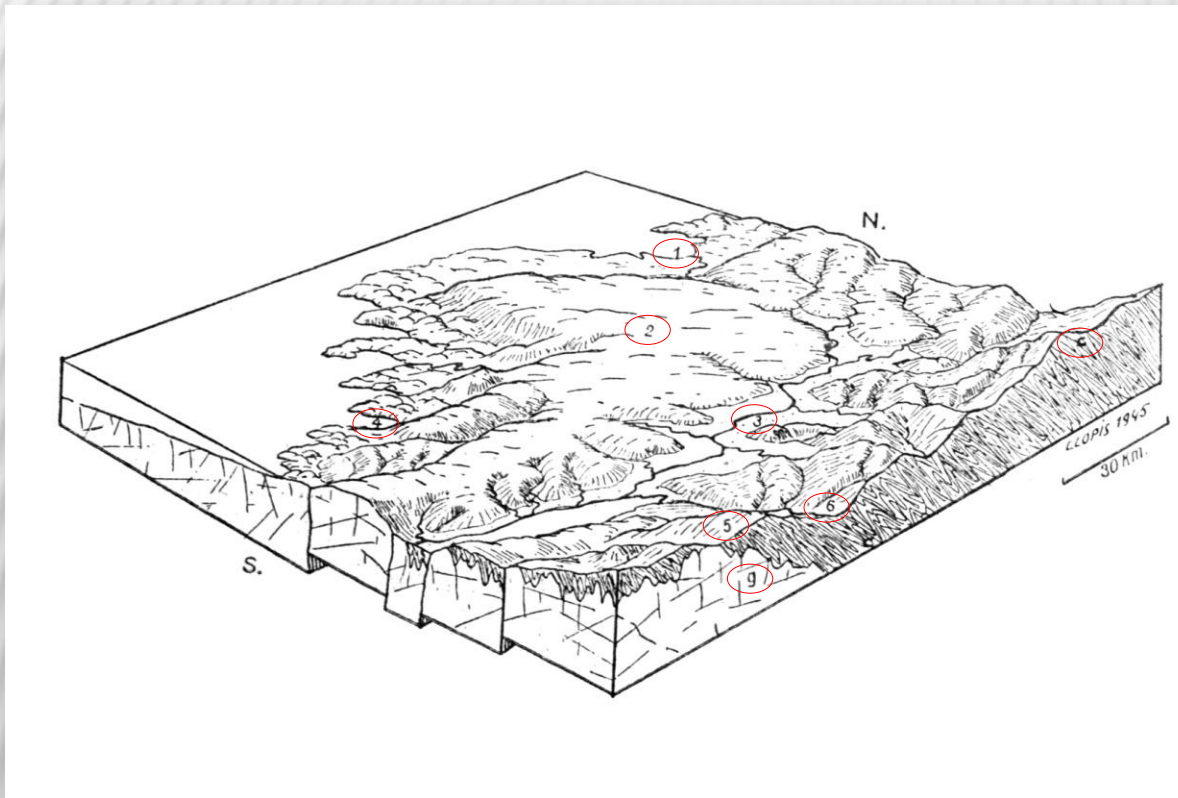
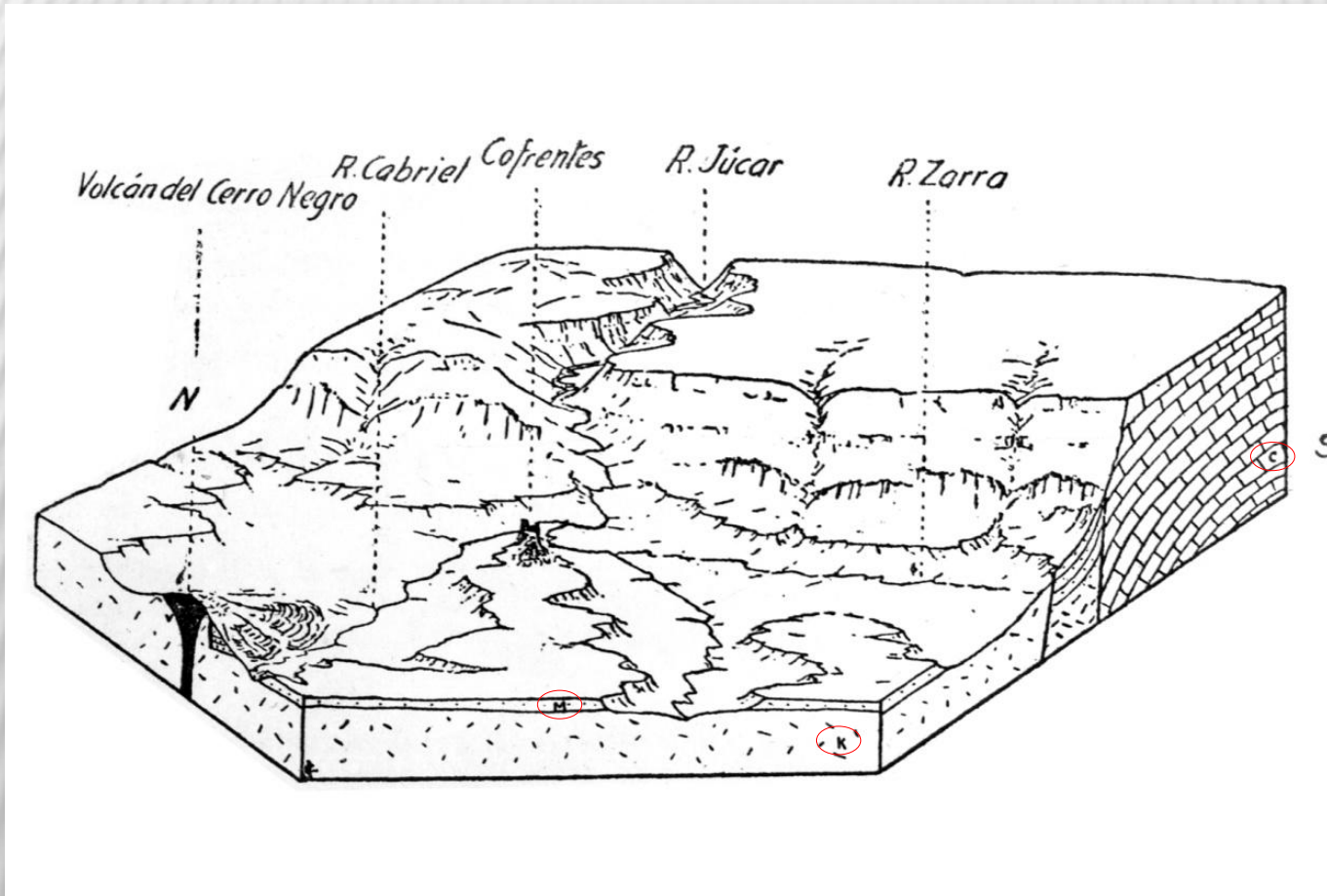


Diagrama del bloque galaico.  
1.- Coruña, 2.- Meseta de Lugo,  
3.- Valle del Miño, 4.- Ria de Vigo,  
5.- Sierra Segundera,  
6.- Valle del Sil  
Abreviaturas: g) granito y c)  
paleozoico

SOLÉ SABARÍS, L. (1952):  
***Geomorfología Península Ibérica***,  
en: Geografía Física, tomo I de:  
Solé Sabarís, L. Terán, M. de  
(dirs): "Geografía de España y  
Portugal". Barcelona, Ed. Montaner  
y Simó.  
Fig. 109, página 273.

Diap. 883.- Diagrama región Cofrentes



Bloque diagrama de la región volcánica de Cofrentes, según Solé Sabarís.

Abreviaturas:

k) Triásico superior,

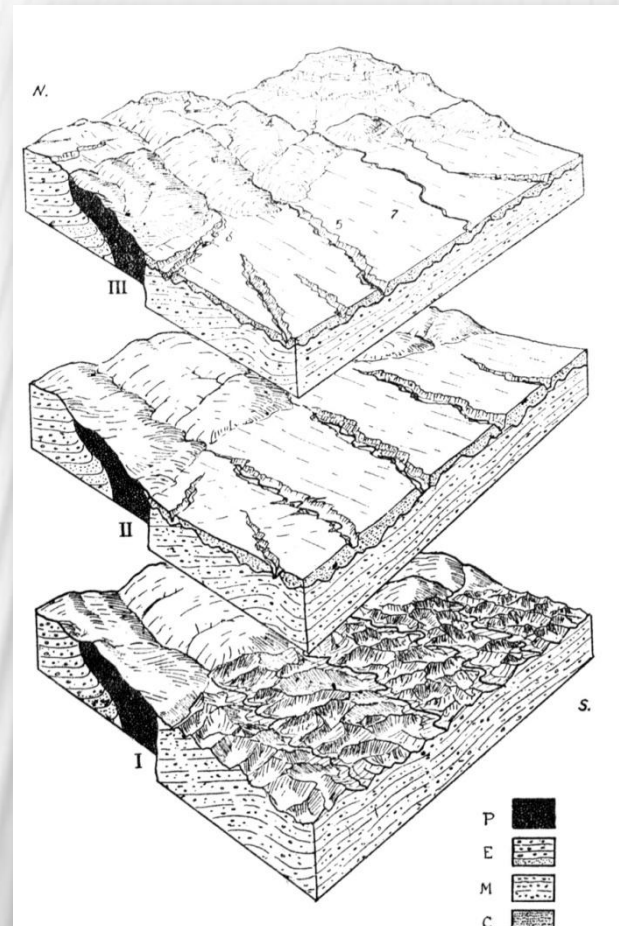
c) Cretáceo, m) Mioceno.

La chimenea volcánica en negro

SOLÉ SABARÍS, L. (1952): Geomorfología Península Ibérica, en: Geografía Física, tomo I de: Solé Sabarís, L. Terán, M. de (dirs): "Geografía de España y Portugal". Barcelona, Ed. Montaner y Simó. Fig. 138, página 388.



Diap. 886.- Diagrama borde N. Depresión Vallés

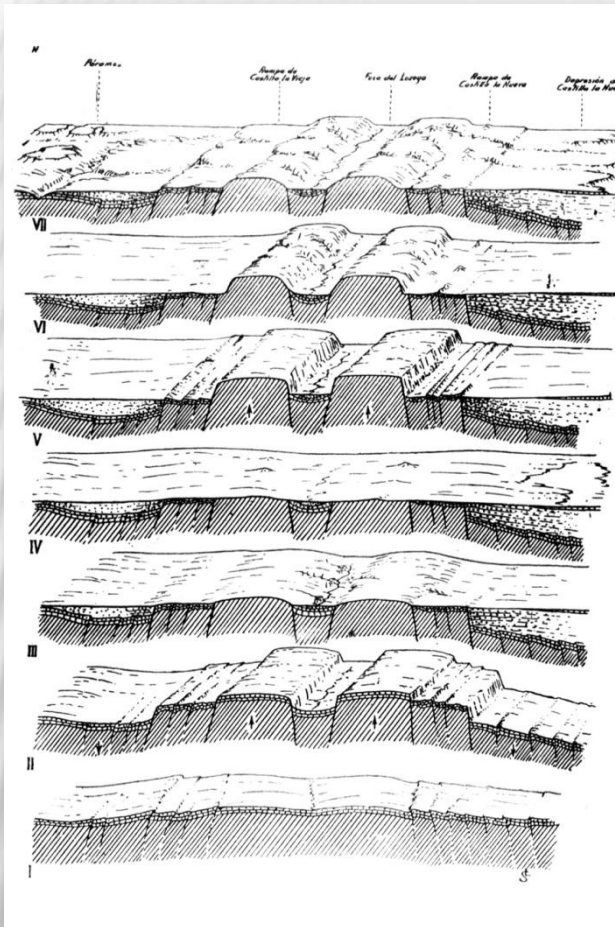


**Bloque diagrama del borde septentrional de la Depresión del Vallés. Evolución morfológica en tres fases**

SOLÉ SABARÍS, L. (1952): ***Geomorfología Península Ibérica***, en: Geografía Física, tomo I de: Solé Sabarís, L. Terán, M. de (dirs): "Geografía de España y Portugal". Barcelona, Ed. Montaner y Simó. Fig. 153, página 388



Diap. 886.- Evolución Cordillera Central

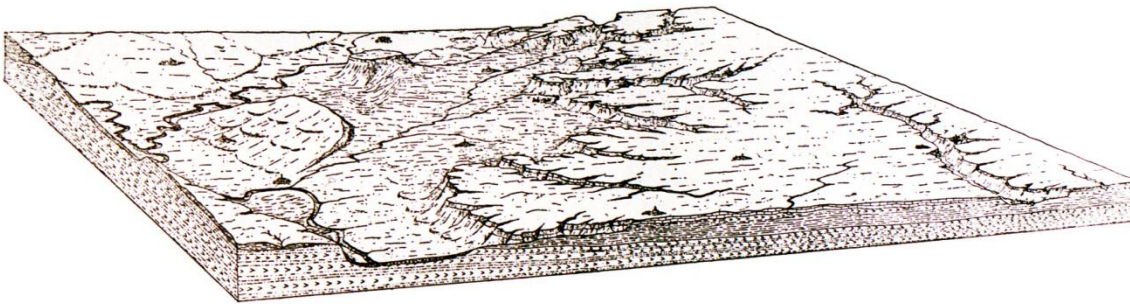


Evolución morfológica de la Cordillera Central.

- 1.- El zócalo paleozoico en rayado.
- 2.- La cobertera, formada por Cretáceo y Paleógeno, plegados.
- 3.- Encima y discordante, el Mioceno, coronado por la caliza de los páramos

SOLÉ SABARÍS, L. (1952): *Geomorfología Península Ibérica*, en: Geografía Física, tomo I de: Solé Sabarís, L. Terán, M. de (dirs): "Geografía de España y Portugal". Barcelona, Ed. Montaner y Simó. Fig. 70, página 189.

Diap. 877.- Diagrama de la Alcarria en la región de Alcalá Henares



Bloque de la Alcarria en la región de Alcalá de Henares, según los autores de la Hoja nº 560 del Mapa Geológico de España en escala 1:50.000.

SOLÉ SABARÍS, L. (1952): *Geomorfología Península Ibérica*, en: Geografía Física, tomo I de: Solé Sabarís, L. Terán, M. de (dirs): "Geografía de España y Portugal". Barcelona, Ed. Montaner y Simó. Figura 80, página 212.

Diap. 888.- Páramos de la Alcarria al E. Guadalajara

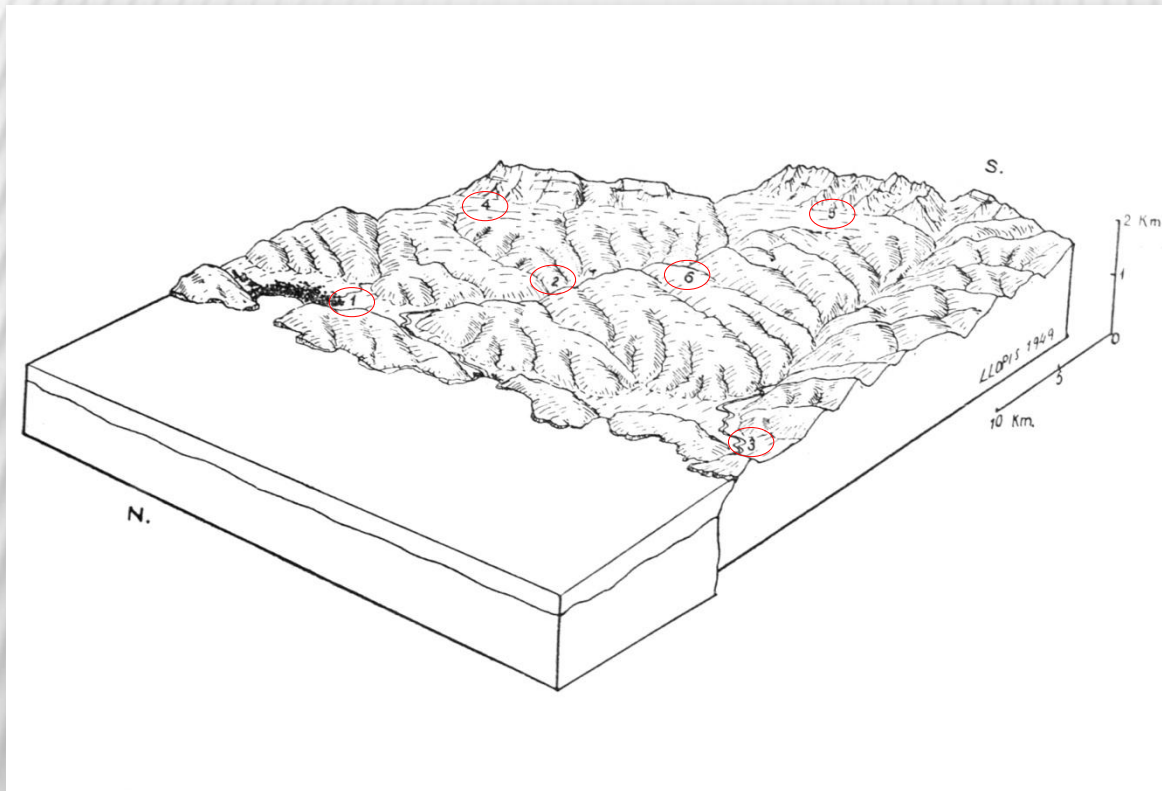


Los Páramos de la Alcarria según el Mapa Topográfico Nacional, Escala 1:50.000. Equidistancia de las curvas de nivel, 40 metros. Compárese con el Bloque diagrama de la figura nº 80

SOLÉ SABARÍS, L. (1952): *Geomorfología Península Ibérica*, en: Geografía Física, tomo I de: Solé Sabarís, L. Terán, M. de (dirs): "Geografía de España y Portugal". Barcelona, Ed. Montaner y Simó. Figura 81, página 214.



Diap. 882.- Diagrama de las montañas de Guipúzcoa.



Bloque diagrama de las montañas de Guipúzcoa.

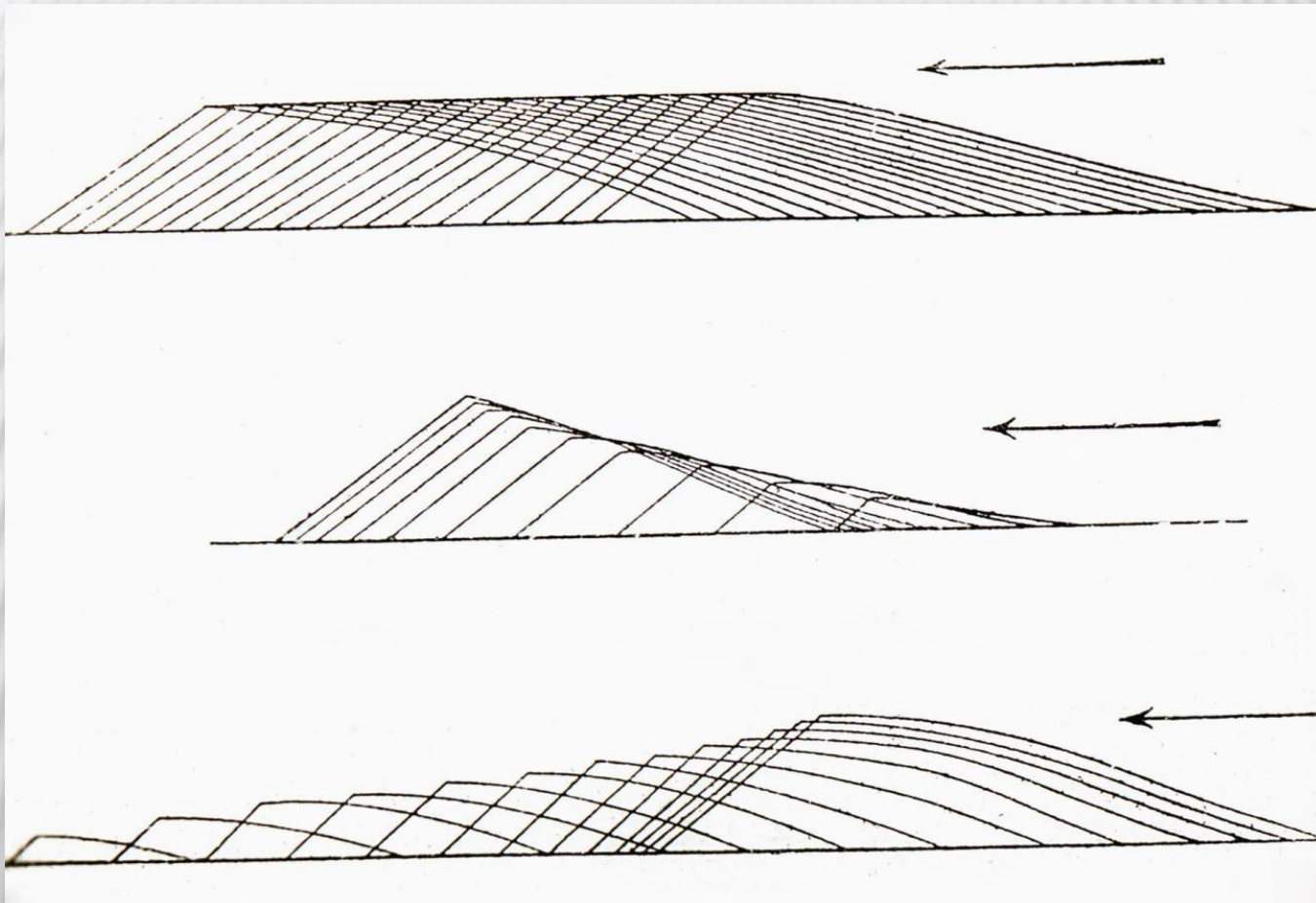
Signos convencionales:

- 1.- San Sebastián
- 2.- Valle del Uria
- 3.- Valle del Deva
- 4.- Sierra de Aralar
- 5.- Aizgorri
- 6.- Monte Hermio

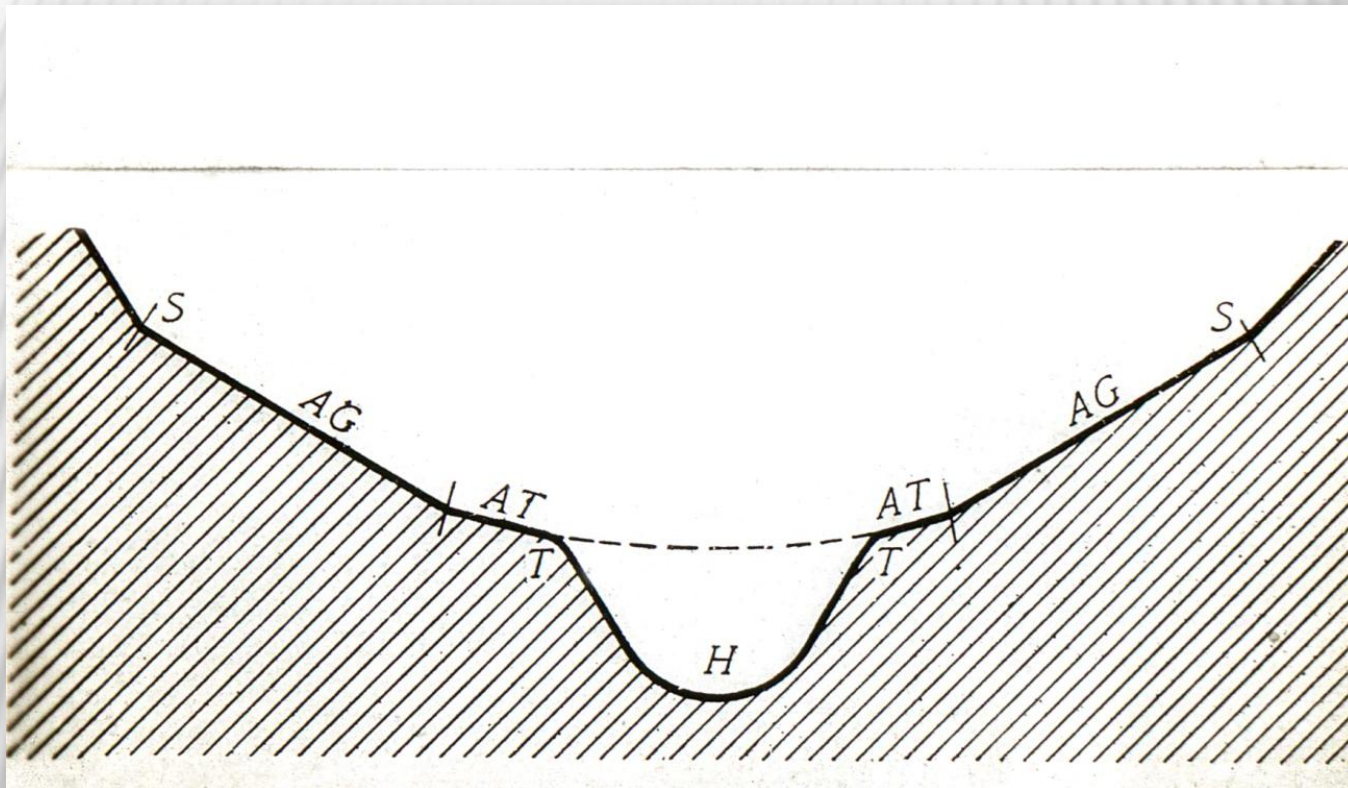
SOLÉ SABARÍS, L. (1952):  
***Geomorfología Península Ibérica***, en: Geografía Física, tomo I de: Solé Sabarís, L. Terán, M. de (dirs): "Geografía de España y Portugal". Barcelona, Ed. Montaner y Simó.



Diap. 494-5. Esquema de avance de dunas



Diap. 498.- Esquema de valle glaciar



Diap. 518.- Esquemas de paquetes de estratos. Petr6leo y gas

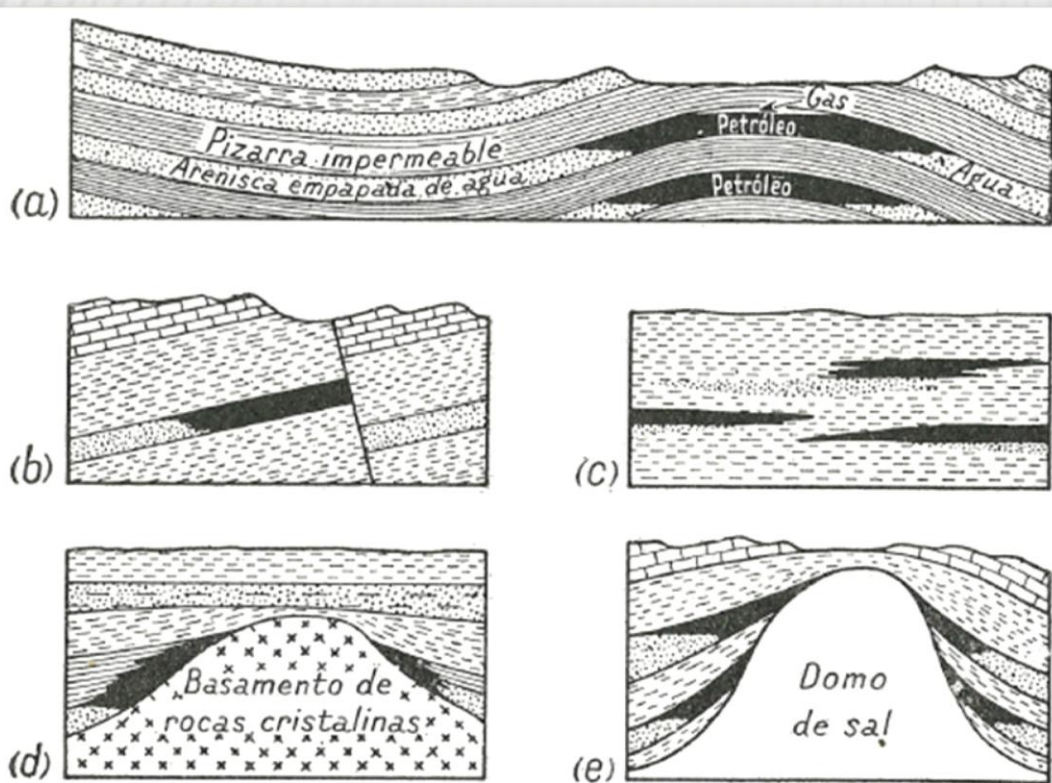


FIG. 227. — Cortes de diversos tipos de estructuras favorables a la acumulaci6n del petr6leo y gas natural. Este 6ltimo se ha omitido excepto en a.

Esquemas de paquetes de estratos. Petr6leo y gas.  
 HOLMES, A. (1962) :  
*Geologfa Ffsica*, Barcelona,  
 Ediciones Omega, 4<sup>a</sup> edici6n.  
 Figura 227, p6gina 344.